

# Tema 3: Sistemas LTI en tiempo discreto. Filtros FIR.

Carlos García de la Cueva <sup>1</sup>

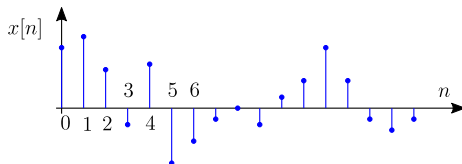
<sup>1</sup>Departamento de Electrónica, Automática y Comunicaciones  
ICAI-DEAC



- 1 Señales y Sistemas en tiempo Discreto
- 2 Sistemas LTI en tiempo discreto
- 3 Transformada de Fourier en Tiempo Discreto
- 4 Pares de transformadas clásicas
- 5 Procesos estocásticos en tiempo discreto
- 6 Filtros FIR
- 7 Diseño de Filtros FIR
- 8 Referencias

- 1 Señales y Sistemas en tiempo Discreto
- 2 Sistemas LTI en tiempo discreto
- 3 Transformada de Fourier en Tiempo Discreto
- 4 Pares de transformadas clásicas
- 5 Procesos estocásticos en tiempo discreto
- 6 Filtros FIR
- 7 Diseño de Filtros FIR
- 8 Referencias

## Señales en tiempo discreto



- Cualquier secuencia discreta se puede expresar como:

$$x[n] = \sum_{k=-\infty}^{\infty} x[k] \cdot \delta[n - k], \quad \delta[n] = \begin{cases} 1, & n = 0 \\ 0, & n \neq 0 \end{cases}$$

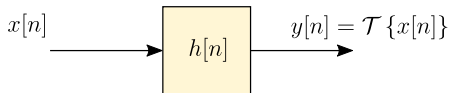
- Función escalón unidad:

$$u[n] = \sum_{k=-\infty}^{\infty} \delta[n - k]$$

- Las secuencias discretas periódicas son aquellas que cumplen que:

$$x[n] = x[n + M], \quad \forall n \text{ donde } M \text{ es el periodo}$$

## Sistemas en Tiempo discreto



- Sistemas sin memoria:

$$y[n_0] = \mathcal{T}\{x[n_0]\}$$

- Sistemas lineales:

$$y[n] = \mathcal{T}\left\{\sum_k x_k[n]\right\} = \sum_k \mathcal{T}\{x_k[n]\}$$

- Sistemas invariantes en el tiempo:

$$y[n] = \mathcal{T}\{x[n]\} \longrightarrow y[n - n_0] = \mathcal{T}\{x[n - n_0]\}$$

- Sistemas causales:

$$y[n_0] = \mathcal{T}\{x[n]\}, \forall n \leq n_0$$

- Sistemas estables:

$$|x[n]| \leq B_x < \infty \longrightarrow |y[n]| \leq B_y < \infty$$

- 1 Señales y Sistemas en tiempo Discreto
- 2 **Sistemas LTI en tiempo discreto**
- 3 Transformada de Fourier en Tiempo Discreto
- 4 Pares de transformadas clásicas
- 5 Procesos estocásticos en tiempo discreto
- 6 Filtros FIR
- 7 Diseño de Filtros FIR
- 8 Referencias

- Sistemas **lineales e invariantes en el tiempo** (LTI):

$$\begin{aligned}y[n] &= \mathcal{T} \left\{ \sum_k x_k[n] \right\} = \sum_k \mathcal{T} \{x_k[n]\} \\y[n - n_0] &= \mathcal{T} \{x[n - n_0]\}\end{aligned}$$

- Salida de un sistema LTI:

$$\begin{aligned}y[n] &= \mathcal{T} \{x[n]\} = \mathcal{T} \left\{ \sum_{k=-\infty}^{\infty} x[k] \delta[n - k] \right\} = \\&= \sum_{k=-\infty}^{\infty} x[k] \mathcal{T} \{ \delta[n - k] \} = \sum_{k=-\infty}^{\infty} x[k] h[n - k]\end{aligned}$$

- Convolución discreta:

$$y[n] = x[n] * h[n] = \sum_{k=-\infty}^{\infty} x[k] h[n - k] = \sum_{k=-\infty}^{\infty} x[k] h[-(k - n)]$$

- **Ejemplo Convolución Discreta:**  $h[n] = u[n] - u[n - N]$ ,  $x[n] = a^n u[n]$ ,  $a \neq 1$

$$y[n] = x[n] * h[n] = \sum_k x[k] h[n - k]$$

$$y[n] = 0, \forall n < 0$$

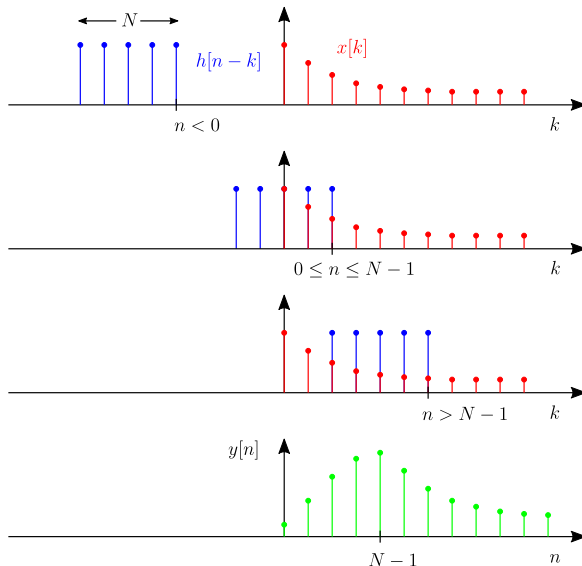
$$y[n] = \sum_{k=0}^n a^k = \frac{a^0 - a^{n+1}}{1 - a} = \frac{1 - a^{n+1}}{1 - a}, \forall 0 \leq n \leq N - 1$$

$$y[n] = \sum_{k=n-N+1}^n a^k = \frac{a^{n-N+1} - a^{n+1}}{1 - a} = a^{n-N+1} \left( \frac{1 - a^N}{1 - a} \right), \forall n > N - 1$$

- Suma de una serie geométrica:  $\sum_{n=N_1}^{N_2} a \cdot r^n = a \cdot \frac{r^{N_1} - r^{N_2+1}}{1 - r}$
- Suma de una serie Telescópica:  $\sum_{n=N_1}^{N_2} (a_n - a_{n+1}) = a_{N_1} - a_{N_2+1}$



# Sistemas LTI en tiempo discreto



## Propiedades de los sistemas LTI en tiempo discreto

- Conmutativa:

$$x[n] * h[n] = h[n] * x[n]$$

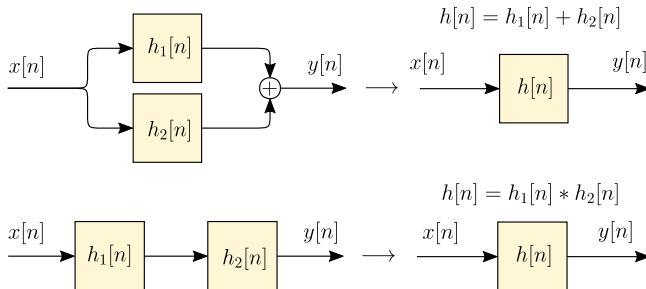
- Distributiva respecto de la suma:

$$x[n] * (h_1[n] + h_2[n]) = x[n] * h_1[n] + x[n] * h_2[n]$$

- Asociativa:

$$(x[n] * h_1[n]) * h_2[n] = x[n] * (h_1[n] * h_2[n])$$

- Sistemas en paralelo y cascada:



## ■ Estabilidad:

$$\begin{aligned} |x[n]| &\leq B_x \\ |y[n]| &= \left| \sum_{k=-\infty}^{\infty} h[k]x[n-k] \right| \leq \sum_{k=-\infty}^{\infty} |h[k]| |x[n-k]| \\ |y[n]| &\leq B_x \sum_{k=-\infty}^{\infty} |h[k]| \end{aligned}$$

de modo que el sistema será estable si y sólo si:

$$\boxed{\sum_{k=-\infty}^{\infty} |h[k]| = B_h < \infty}$$

## ■ Causalidad: $y[n_0]$ sólo depende de las muestras de entrada $x[n] \forall n \leq n_0$

$$y[n_0] = \sum_{k=-\infty}^{\infty} h[k]x[n_0 - k], \forall n_0 - k \leq n_0 \rightarrow k \geq 0$$

Para cumplir esta última condición,  $\boxed{h[n] = 0, \forall n < 0}$

- 1 Señales y Sistemas en tiempo Discreto
- 2 Sistemas LTI en tiempo discreto
- 3 Transformada de Fourier en Tiempo Discreto
- 4 Pares de transformadas clásicas
- 5 Procesos estocásticos en tiempo discreto
- 6 Filtros FIR
- 7 Diseño de Filtros FIR
- 8 Referencias

- La **Transformada de Fourier en Tiempo Discreto** (TFTD) se define como:

$$X(e^{jw}) = \sum_{n=-\infty}^{\infty} x[n]e^{-jwn}, \quad \forall -\infty \leq w \leq \infty$$

donde  $w$  es una variable continua.

- Y la **transformada inversa**:

$$x[n] = \frac{1}{2\pi} \int_{-\pi}^{\pi} X(e^{jw}) e^{jwn} dw$$

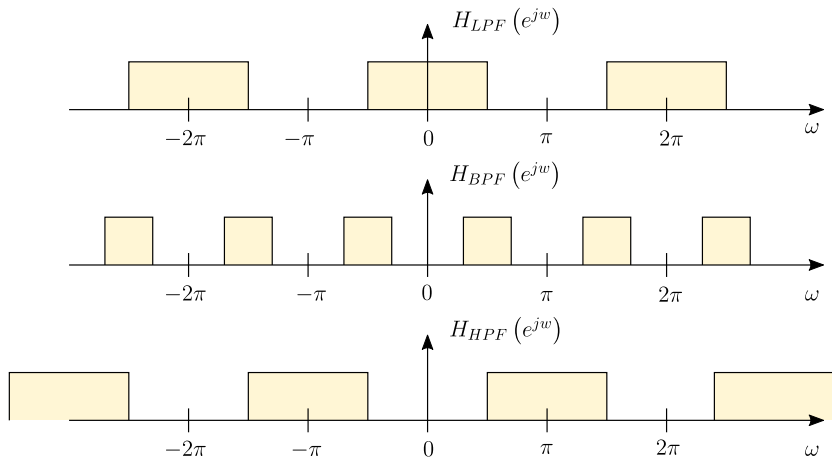
- Periodicidad** de la TFTD:

$$X(e^{j(w+2\pi)}) = X(e^{jw})$$

$$X(e^{j(w+2\pi)}) = \sum_{n=-\infty}^{\infty} x[n]e^{-j(w+2\pi)n} = \sum_{n=-\infty}^{\infty} x[n]e^{-jwn}e^{-j2\pi n}$$

$$X(e^{j(w+2\pi)}) = \sum_{n=-\infty}^{\infty} x[n]e^{-jwn} = X(e^{jw})$$

# Transformada de Fourier en Tiempo Discreto



- **Opcional.** Deducción de la transformada inversa:

$$X(e^{jw}) = \sum_{n=-\infty}^{\infty} x[n] e^{-jwn}$$

$$\int_{-\pi}^{\pi} X(e^{jw}) e^{jwk} dw = \sum_{n=-\infty}^{\infty} x[n] \int_{-\pi}^{\pi} e^{-jw(n-k)} dw$$

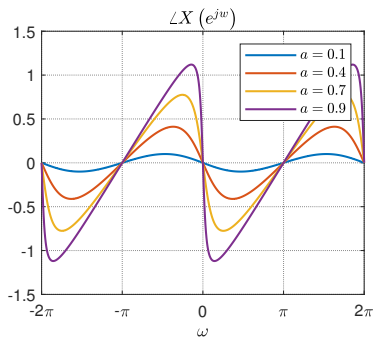
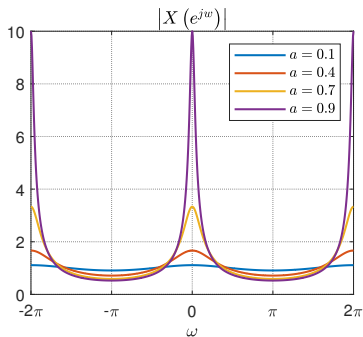
$$\int_{-\pi}^{\pi} e^{-jw(n-k)} dw = \left. \frac{e^{-jw(n-k)}}{-j(n-k)} \right|_{-\pi}^{\pi} = \frac{2 \cdot \sin(\pi(n-k))}{n-k} = 2\pi \cdot \text{sinc}(n-k) = 2\pi \cdot \delta[n-k]$$

$$\int_{-\pi}^{\pi} X(e^{jw}) e^{jwk} dw = 2\pi \cdot \sum_{n=-\infty}^{\infty} x[n] \cdot \delta[n-k]$$

$$\frac{1}{2\pi} \int_{-\pi}^{\pi} X(e^{jw}) e^{jwk} dw = x[k]$$

■ **Ejemplo:** TFTD de  $x[n] = a^n u[n]$

$$\begin{aligned} X(e^{j\omega}) &= \sum_{n=-\infty}^{\infty} x[n]e^{-j\omega n} = \sum_{n=0}^{\infty} a^n e^{-j\omega n} = \\ &= \sum_{n=0}^{\infty} (ae^{-j\omega})^n = \frac{1}{1 - ae^{-j\omega}}, \quad \forall |ae^{-j\omega}| = |a| < 1 \end{aligned}$$





- Condición de existencia de la TFTD:

$$\begin{aligned} |X(e^{j\omega})| &= \left| \sum_{n=-\infty}^{\infty} x[n] e^{-j\omega n} \right| < \infty \\ |X(e^{j\omega})| &\leq \sum_{n=-\infty}^{\infty} |x[n]| |e^{-j\omega n}| \\ &\leq \sum_{n=-\infty}^{\infty} |x[n]| < \infty \end{aligned}$$

- Relación de la existencia de la TFTD con la estabilidad de un sistema LTI:

$$|x[n]| < B_x, \quad |y[n]| \leq B_y \sum_{k=-\infty}^{\infty} |h[k]| < \infty \longrightarrow \sum_{k=-\infty}^{\infty} |h[k]| < \infty$$

$$H(e^{j\omega}) \leq \sum_{n=-\infty}^{\infty} |h[n]| |e^{-j\omega n}| = \sum_{n=-\infty}^{\infty} |h[n]| < \infty$$

## Propiedades de la TFTD

- Linealidad:

$$ax[n] + by[n] \xleftrightarrow{\mathcal{F}} aX(e^{jw}) + bY(e^{jw})$$

- Desplazamiento temporal:

$$x[n - n_d] \xleftrightarrow{\mathcal{F}} e^{-jwn_d} X(e^{jw})$$

- Desplazamiento en frecuencia:

$$x[n]e^{jw_0n} \xleftrightarrow{\mathcal{F}} X(e^{j(w-w_0)})$$

- Inversión temporal:

$$x[-n] \xleftrightarrow{\mathcal{F}} X(e^{-jw})$$

- Derivada de la TFTD:

$$nx[n] \xleftrightarrow{\mathcal{F}} j \frac{dX(e^{jw})}{dw}$$

- Convolución temporal:

$$x[n] * y[n] \xleftrightarrow{\mathcal{F}} X(e^{jw}) \cdot Y(e^{jw})$$

- Multiplicación temporal:

$$x[n] \cdot y[n] \xleftrightarrow{\mathcal{F}} \frac{1}{2\pi} \int_{-\pi}^{\pi} X(e^{j\theta}) Y(e^{j(w-\theta)}) dw$$

- Diezmado:

$$x[nM] \xleftrightarrow{\mathcal{F}} \sum_{k=0}^{M-1} X(e^{j(w+2\pi k)/M})$$

- Interpolación:

$$x\left[\frac{n}{L}\right] \xleftrightarrow{\mathcal{F}} X(e^{jwL})$$

- Teorema de Parseval:

$$\sum_{n=-\infty}^{\infty} |x[n]|^2 = \frac{1}{2\pi} \int_{-\pi}^{\pi} |X(e^{jw})|^2 dw$$

- 1 Señales y Sistemas en tiempo Discreto
- 2 Sistemas LTI en tiempo discreto
- 3 Transformada de Fourier en Tiempo Discreto
- 4 Pares de transformadas clásicas**
- 5 Procesos estocásticos en tiempo discreto
- 6 Filtros FIR
- 7 Diseño de Filtros FIR
- 8 Referencias

Secuencia	TFTD
$\delta[n]$	1
$\delta[n - n_0]$	$e^{-j\omega n_0}$
1, $(-\infty < n < \infty)$	$\sum_{k=-\infty}^{\infty} 2\pi\delta(\omega + 2\pi k)$
$a^n u[n]$	$\frac{1}{1 - ae^{-j\omega}}$
$u[n]$	$\frac{1}{1 - e^{-j\omega}} + \sum_{k=-\infty}^{\infty} \pi\delta(\omega + 2\pi k)$
$(n + 1)a^n u[n], \quad  a  < 1$	$\frac{1}{(1 - ae^{-j\omega})^2}$
$\frac{\sin(\omega_c n)}{\pi n}$	$X(e^{j\omega}) = \begin{cases} 1, &  w  < \omega_c \\ 0, & \omega_c <  w  < \pi \end{cases}$

Secuencia	TFTD
$x[n] = \begin{cases} 1, & 0 \leq n \leq M \\ 0, & \text{resto} \end{cases}$	$\frac{\sin(w(M+1)/2)}{\sin(w/2)} e^{-jwM/2}$
$e^{jw_0 n}$	$\sum_{k=-\infty}^{\infty} 2\pi \delta(w - w_0 + 2\pi k)$
$\cos(w_0 n + \phi)$	$\sum_{k=-\infty}^{\infty} \pi (e^{j\phi} \delta(w - w_0 + 2\pi k) + e^{-j\phi} \delta(w + w_0 + 2\pi k))$

- **Ejemplo 1:** Calcule la transformada inversa de  $X(e^{jw})$

$$X(e^{jw}) = \frac{1}{(1 - ae^{-jw})(1 - be^{-jw})} = \frac{a/(a-b)}{(1 - ae^{-jw})} - \frac{b/(a-b)}{(1 - be^{-jw})}$$

$$\mathcal{F}^{-1} \left\{ X(e^{j\omega}) \right\} = \mathcal{F}^{-1} \left\{ \frac{a/(a-b)}{(1-ae^{-j\omega})} \right\} - \mathcal{F}^{-1} \left\{ \frac{b/(a-b)}{(1-be^{-j\omega})} \right\}$$

$$x[n] = \frac{a}{a-b} a^n u[n] - \frac{b}{a-b} b^n u[n] = \frac{(a^{n+1} - b^{n+1}) u[n]}{a-b}$$

- **Ejemplo 2:** Calcular la respuesta al impulso a partir de un sistema en diferencias:

$$y[n] - \frac{1}{2}y[n-1] = x[n] - \frac{1}{4}x[n-1]$$

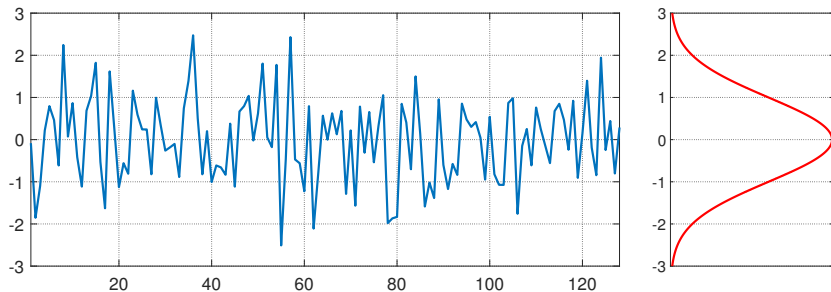
$$Y(e^{j\omega}) - \frac{1}{2}Y(e^{j\omega})e^{-j\omega} = X(e^{j\omega}) - \frac{1}{4}X(e^{j\omega})e^{-j\omega}$$

$$H(e^{j\omega}) = \frac{Y(e^{j\omega})}{X(e^{j\omega})} = \frac{1 - \frac{1}{4}e^{-j\omega}}{1 - \frac{1}{2}e^{-j\omega}} = \frac{1}{2} + \frac{\frac{1}{2}}{1 - \frac{1}{2}e^{-j\omega}}$$

$$x[n] = \mathcal{F}^{-1} \left\{ H(e^{j\omega}) \right\} = \frac{1}{2}\delta[n] + \left(\frac{1}{2}\right)^{n+1} u[n]$$

- 1 Señales y Sistemas en tiempo Discreto
- 2 Sistemas LTI en tiempo discreto
- 3 Transformada de Fourier en Tiempo Discreto
- 4 Pares de transformadas clásicas
- 5 **Procesos estocásticos en tiempo discreto**
- 6 Filtros FIR
- 7 Diseño de Filtros FIR
- 8 Referencias





- Procesos discretos estacionarios en sentido amplio:

$$E \{x[n]\} = m_x[n] = m_x \longrightarrow E \{x[n \pm n_0]\} = m_x$$

$$E \{x[n_1] \cdot x[n_2]\} = R_x[n_1 - n_2] = R_x[\tau]$$

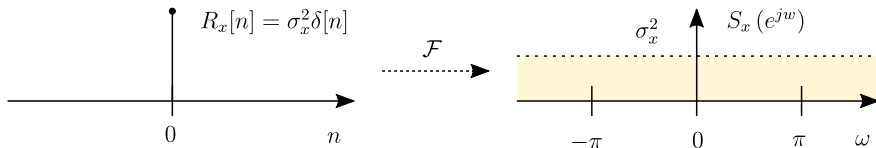
- Densidad espectral de potencia de ruido:

$$S_x(e^{j\omega}) = \mathcal{F}\{R_x\} = \sum_{n=-\infty}^{\infty} R_x[n]e^{-j\omega n}$$

## ■ Ruido Blanco:

$$R_x[\tau] = \sigma_x^2 \delta[\tau] \longrightarrow S_x(e^{jw}) = \sigma_x^2 \forall w$$

$$P_x = E\{x^2[n]\} = R_x[0] = \frac{1}{2\pi} \int_{-\pi}^{\pi} S_x(e^{jw}) dw = \sigma_x^2$$

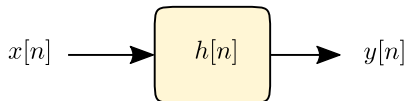


- **Ruido complejo:**  $\tilde{r}[n] = r_i[n] + j \cdot r_q[n]$ . Donde se considera que  $r_i[n]$  y  $r_q[n]$  son procesos estocásticos independientes e idénticamente distribuidos (IID). Es decir,  $m_i \approx m_q$  y  $\sigma_i^2 \approx \sigma_q^2$ .

$$\sigma_{\tilde{r}}^2 = \sigma_i^2 + \sigma_q^2 \approx 2\sigma_i^2$$

$$m_{\tilde{r}} = m_i + j \cdot m_q$$

## ■ Procesos estacionarios discretos aplicados a sistemas LTI



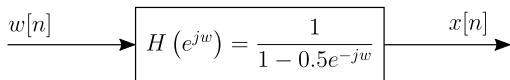
$$R_{yx}[\tau] = h[\tau] * R_x[\tau]$$

$$R_y[\tau] = R_{yx}(\tau) * h[-\tau]^* = R_x[\tau] * h[\tau] * h[-\tau]^*$$

$$S_y(e^{j\omega}) = \mathcal{F}\{R_y[\tau]\} = S_x(e^{j\omega}) \cdot H(e^{j\omega}) \cdot H(e^{j\omega})^* = S_x(e^{j\omega}) \cdot |H(e^{j\omega})|^2$$

$$\begin{aligned} m_y &= E\{y[n]\} = E\left\{\sum_{k=-\infty}^{\infty} h[k]x[n-k]\right\} = \sum_{k=-\infty}^{\infty} h[k]E\{x[n-k]\} = \\ &= m_x \cdot \sum_{k=-\infty}^{\infty} h[k] = m_x \cdot \sum_{k=-\infty}^{\infty} h[k]e^{-j0n} = m_x \cdot H(e^{j0}) \end{aligned}$$

- **Ejemplo:** Suponga que  $w[n]$  es un ruido blanco de media nula y potencia  $\sigma_w^2$ :



- a) Calcule la potencia del p.e a la salida (en función de  $R_x[n]$ ).

$$E \{ x^2[n] \} = R_x[0] = \frac{1}{2\pi} \int_{-\pi}^{\pi} S_x(e^{jw}) dw$$

- b) Calcule la densidad espectral de potencia del p.e a la salida.

$$S_x(e^{jw}) = S_w(e^{jw}) \cdot |H(e^{jw})|^2 = \sigma_w^2 \cdot \frac{1}{1.25 - \cos(w)}$$

- c) Calcule la función de autocorrelación del p.e a la salida.

$$\begin{aligned} R_x[n] &= R_w[n] * h[n] * h[-n]^* = \sigma_w^2 \left( \left( \frac{1}{2} \right)^n u[n] * \left( \frac{1}{2} \right)^{-n} u[-n] \right) \\ &= \frac{4\sigma_w^2}{3} \left( \left( \frac{1}{2} \right)^{-n} u[-n+1] + \left( \frac{1}{2} \right)^n u[n] \right) \end{aligned}$$

- 1 Señales y Sistemas en tiempo Discreto
- 2 Sistemas LTI en tiempo discreto
- 3 Transformada de Fourier en Tiempo Discreto
- 4 Pares de transformadas clásicas
- 5 Procesos estocásticos en tiempo discreto
- 6 Filtros FIR**
- 7 Diseño de Filtros FIR
- 8 Referencias

- **FIR**  $\equiv$  Finite Impulse Response (respuesta al impulso de longitud finita)

$$h[n] = 0, \forall n < N_1 \text{ y } n > N_2, N_1 \leq N_2$$

- La salida de un filtro FIR se expresa como:

$$y[n] = \sum_{k=-\infty}^{\infty} h[k]x[n-k] = \sum_{k=N_1}^{N_2} h[k]x[n-k]$$

- **Estabilidad:** Los filtros FIR son estables por definición:

$$|x[n]| \leq B_x \longrightarrow |y[n]| \leq B_x \cdot \sum_{n=N_1}^{N_2} |h[n]| < \infty \longrightarrow \sum_{n=N_1}^{N_2} |h[n]| < \infty \forall |h[n]| \neq \infty$$

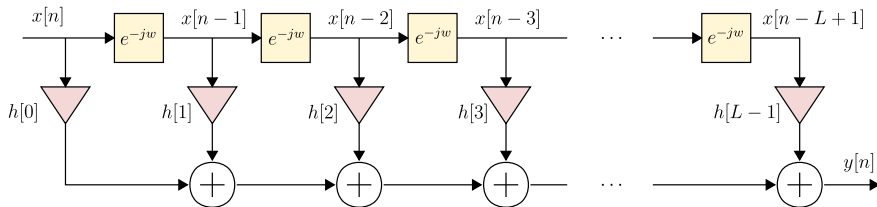
- Para que sea **realizable** se debe imponer además la condición de causalidad:

$$h[n] = 0, \forall n < 0 \longrightarrow h[n] = 0, \forall n < N_1 \text{ y } n > N_2, 0 \leq N_1 \leq N_2$$

- Tiene sentido entonces definir la **longitud** de un filtro FIR como:

$$L = N_2 - N_1 + 1$$

## ■ Diagrama de bloques de un filtro FIR causal



$$h[n] = 0, \quad \forall n < 0 \text{ y } n > L - 1, \quad L \equiv \text{Longitud del filtro FIR}$$

$$\mathcal{F}^{-1} \{ e^{-j\omega} \} = \delta[n - 1] \rightarrow \text{Retardo unitario}$$

- **Def. Transitorio de un filtro FIR:** Período de tiempo (muestras obtenidas a la salida  $y[n]$ ) durante el cual la memoria<sup>1</sup> del filtro está incompleta.

$L \equiv$  Longitud o Memoria del filtro

**Transitorio**  $\equiv L - 1$  Muestras

<sup>1</sup>Se entiende por memoria cada uno de puntos previo y posterior a los retardos unitarios  $e^{-j\omega}$ .

**Caso especial: Filtros causales simétricos.**

- Partimos de una versión no-causal centrada en  $n = 0$ , es decir  $h[k] = h[-k]$ :

$$H(e^{jw}) = \sum_{n=-(L-1)/2}^{(L-1)/2} h[n]e^{-jwn} = h[0] + \sum_{n=1}^{(L-1)/2} 2 \cdot h[n] \cdot \cos(wn)$$

$$\angle \{H(e^{jw})\} = 0$$

- Se aplica un desplazamiento de  $(L-1)/2$  muestras para convertirlo en causal.

$$H'(e^{jw}) = H(e^{jw}) \cdot e^{-jw(L-1)/2}$$

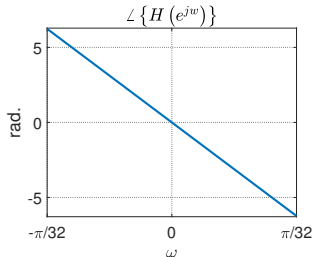
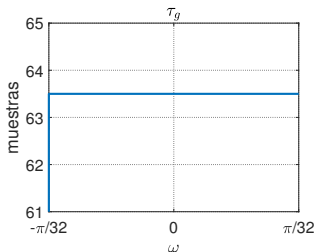
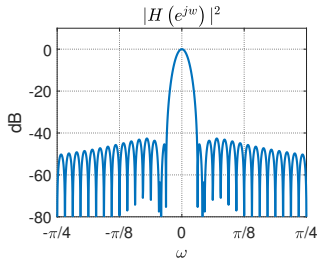
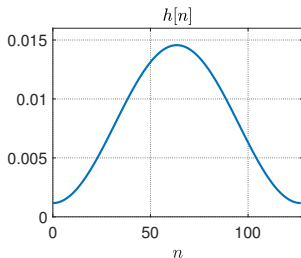
$$\angle \{H'(e^{jw})\} = -jw(L-1)/2$$

- De modo que un filtro FIR simétrico y causal provoca un retardo de grupo de:

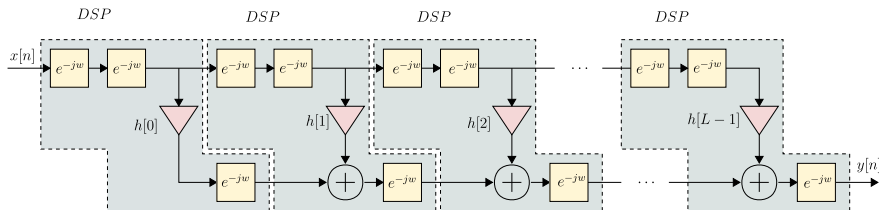
$$\tau_g = -\frac{d\angle \{H'(e^{jw})\}}{dw} = \frac{L-1}{2} \text{ muestras}$$



- Ejemplo filtro FIR simétrico y causal.  $L = 128$  Coeficientes.



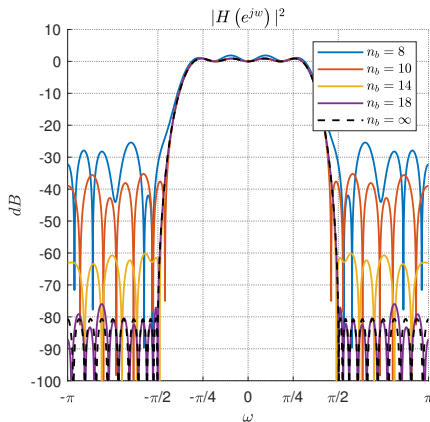
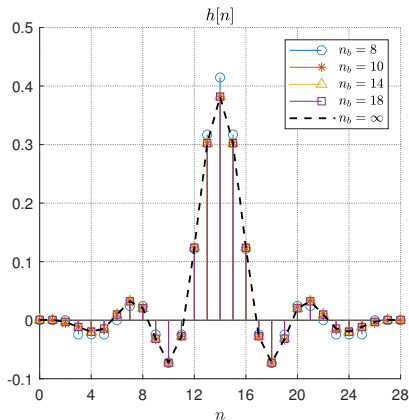
## ■ Implementación HW de filtros FIR



- **DSPs:** Los principales fabricantes de FPGAs ([Xilinx](#) y [Altera](#)) ofrecen módulos ASIC<sup>2</sup> dedicados a operaciones matemáticas intensivas.
- Las principales operaciones de los DSPs aplicadas a sistemas lineales digitales son las de tipo **MAC** (Multiply and Accumulate).
- **Implementación SW de filtros FIR**
- Métodos basados en el filtrado en el dominio de la frecuencia mediante la FFT: **"Overlap-Add"** y **"Overlap-Save"**. Estas técnicas se verán en detalle en el tema 5.

<sup>2</sup>Application Specific Integrated Circuit

## ■ Consideraciones HW de filtros FIR: Cuantificación de los coeficientes $h[n]$

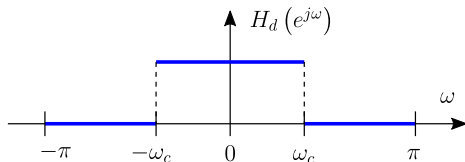


■ El número de bits ( $n_b$ ) afecta sobre la respuesta en frecuencia del sistema.

- 1 Señales y Sistemas en tiempo Discreto
- 2 Sistemas LTI en tiempo discreto
- 3 Transformada de Fourier en Tiempo Discreto
- 4 Pares de transformadas clásicas
- 5 Procesos estocásticos en tiempo discreto
- 6 Filtros FIR
- 7 Diseño de Filtros FIR**
- 8 Referencias

## Enventanado

- Se define la respuesta en frecuencia deseada  $H_d(e^{j\omega})$



- Se obtiene la respuesta al impulso a partir de la transformada inversa

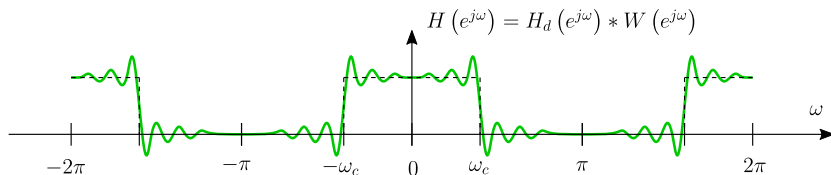
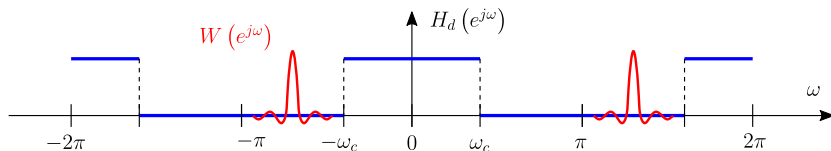
$$h_d[n] = \frac{1}{2\pi} \int_{-\pi}^{\pi} H_d(e^{j\omega}) e^{j\omega n} d\omega$$

- Típicamente,  $H_d(e^{j\omega})$  es una función definida a trozos con discontinuidades en los límites de las bandas que da lugar a  $h_d[n]$  no-causal y de longitud infinita.
- Se restringe la longitud del filtro FIR y se fuerza la condición de causalidad.

$$h[n] = \begin{cases} h_d[n], & 0 \leq n \leq L-1 \\ 0, & \text{resto} \end{cases}$$

- Esta última operación se puede generalizar como una **función de enventanado**.

$$h[n] = h_d[n] \cdot w[n] \xrightarrow{\mathcal{F}} H(e^{j\omega}) = \frac{1}{2\pi} \int_{-\pi}^{\pi} H_d(e^{j\theta}) W(e^{j(\omega-\theta)}) d\theta$$



- La selección de  $w[n]$ :

$$w[n] = 1 \quad \forall n \quad \longrightarrow \quad W(e^{jw}) = 2\pi \cdot \delta(w)$$

$$H(e^{jw}) = \frac{1}{2\pi} \int_{-\pi}^{\pi} H(e^{j\theta}) W(e^{j(w-\theta)}) = H_d(e^{jw})$$

$$L_w = \infty \text{ (longitud)} \quad \longrightarrow \quad BW_w = 0 \text{ (Ancho de banda)}$$

- Se debe de alcanzar un compromiso entre  $L_w$  y  $BW_w$  para aproximar  $H_d(e^{jw})$ .

$$L_w \uparrow\uparrow \longrightarrow BW_w \downarrow\downarrow$$

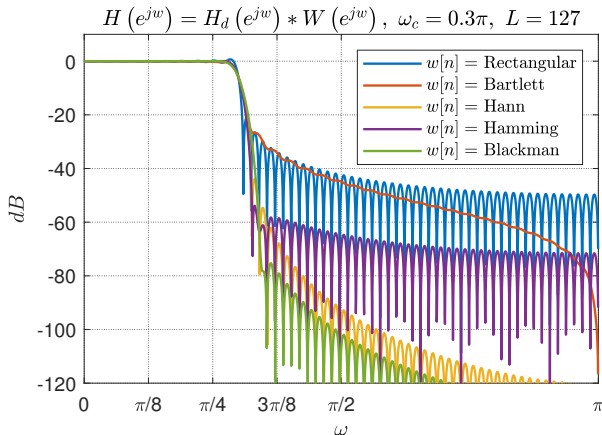
- Con la expresión matemática de  $w[n]$  se logra controlar el SLL y  $\Delta\omega^3$  de  $H(e^{jw})$ .

$h[n] = h_d[n] \cdot w[n]$	<b>SLL(dB)</b>	<b><math>\Delta\omega(\text{rad})</math></b>
Rectangular	-21	$1.81\pi/(L-1)$
Bartlett	-25	$2.37\pi/(L-1)$
Hann	-44	$5.01\pi/(L-1)$
Hamming	-53	$6.27\pi/(L-1)$
Blackman	-74	$9.19\pi/(L-1)$

<sup>3</sup>SLL  $\equiv$  Secondary Lobe Level o nivel de lóbulos secundarios,  $\Delta\omega \equiv$  Banda de transición

- Ejemplo diseño filtro FIR por el método de enventanado ( $h[n] = h_d[n] \cdot w[n]$ )

$$H_d(e^{j\omega}) = \begin{cases} e^{-j\omega(L-1)/2}, & |\omega| \leq \omega_c \\ 0, & \omega_c < |\omega| < \pi \end{cases} \xrightarrow{\mathcal{F}^{-1}} h_d[n] = \frac{\text{sen}(\omega_c(n - (L-1)/2))}{\pi(n - (L-1)/2)}$$





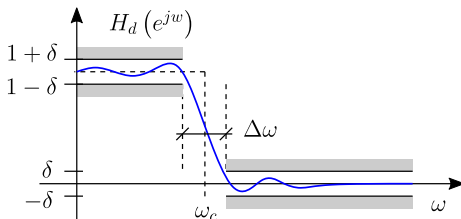
## Enventanado Parametrizado (Ventana de Kaiser)

$$w[n] = \begin{cases} \frac{l_0 \left[ \beta \left( 1 - [(n - \alpha)/\alpha]^2 \right)^{1/2} \right]}{l_0(\beta)} & , 0 \leq n \leq L - 1 \\ 0 & , \text{resto} \end{cases}$$

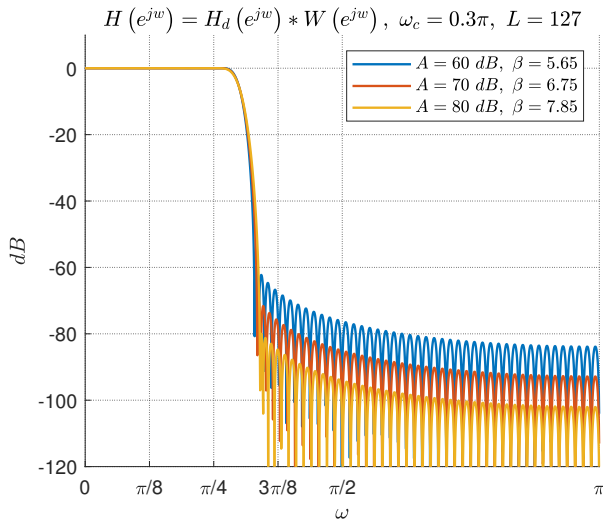
- Donde  $l_0$  representa la función de Bessel modificada de orden 0, y  $\alpha = (L - 1)/2$ .

$$\beta = \begin{cases} 0.1102(A - 8.7) & , A > 50 \\ 0.5842(A - 21)^{0.4} + 0.07886(A - 21) & , 21 \leq A \leq 50 \\ 0 & , A < 21 \end{cases}$$

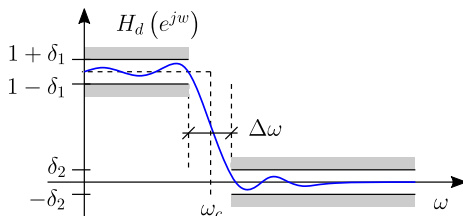
- Donde  $A = -20 \log_{10} \delta = SLL$ ,  $L = \frac{A - 8}{2.285 \Delta \omega} + 1$ , y  $\Delta \omega \equiv$  Banda de transición.



## ■ Ejemplo diseño filtro FIR, ventana de Kaiser



## Diseño óptimo de filtros FIR (Parks-McClellan)



- Se pretende minimizar el error máximo de:

$$E(e^{j\omega}) = W(e^{j\omega}) \cdot (H_d(e^{j\omega}) - A_e(e^{j\omega})), \quad \forall 0 \leq \omega \leq \pi$$

$$A_e(e^{j\omega}) = \sum_{n=-(L-1)/2}^{(L-1)/2} h_e[n] e^{-j\omega n} = h_e[0] + \sum_{n=1}^{L-1} 2 \cdot h_e[n] \cdot \cos(\omega n)$$

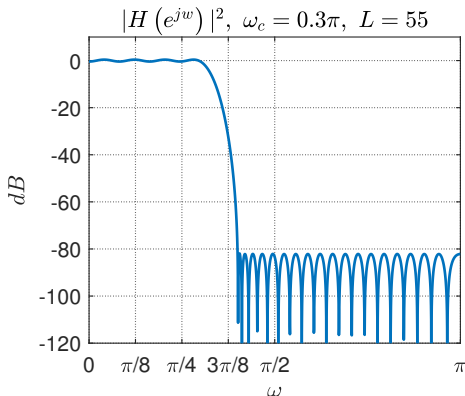
$$h_e[n] = h_e[-n], \quad h[n] = h_e[n - (L-1)/2], \quad W(e^{j\omega}) = \begin{cases} \delta_2/\delta_1 & , 0 \leq \omega \leq \omega_c \\ 1 & , \omega > \omega_c \end{cases}$$

- Fórmula aproximada de diseño óptimo:

$$L = \left\lceil \frac{-10 \cdot \log_{10}(\delta_1 \cdot \delta_2) - 13}{2.324 \cdot \Delta\omega} \right\rceil + 1$$

- Ejemplo diseño óptimo filtro FIR (Parks-McClellan)

$$\Delta\omega = \pi/10, r_p = 0.5dB \rightarrow \delta_1 = 1 - 10^{0.5/20}, SLL = -80dB \rightarrow \delta_2 = 10^{-80/20}, L = 55$$



- 1 Señales y Sistemas en tiempo Discreto
- 2 Sistemas LTI en tiempo discreto
- 3 Transformada de Fourier en Tiempo Discreto
- 4 Pares de transformadas clásicas
- 5 Procesos estocásticos en tiempo discreto
- 6 Filtros FIR
- 7 Diseño de Filtros FIR
- 8 Referencias

- a) Alan V. Oppenheim, Ronald W. Schafer. "Discrete Time Signal Processing". Prentice-Hall. Third Edition
- b) A. Alviol, V. Naranjo, J. Paredes, "Tratamiento Digital de la Señal".  
<http://personales.upv.es/aalbiol/librotds/librotds07.pdf>